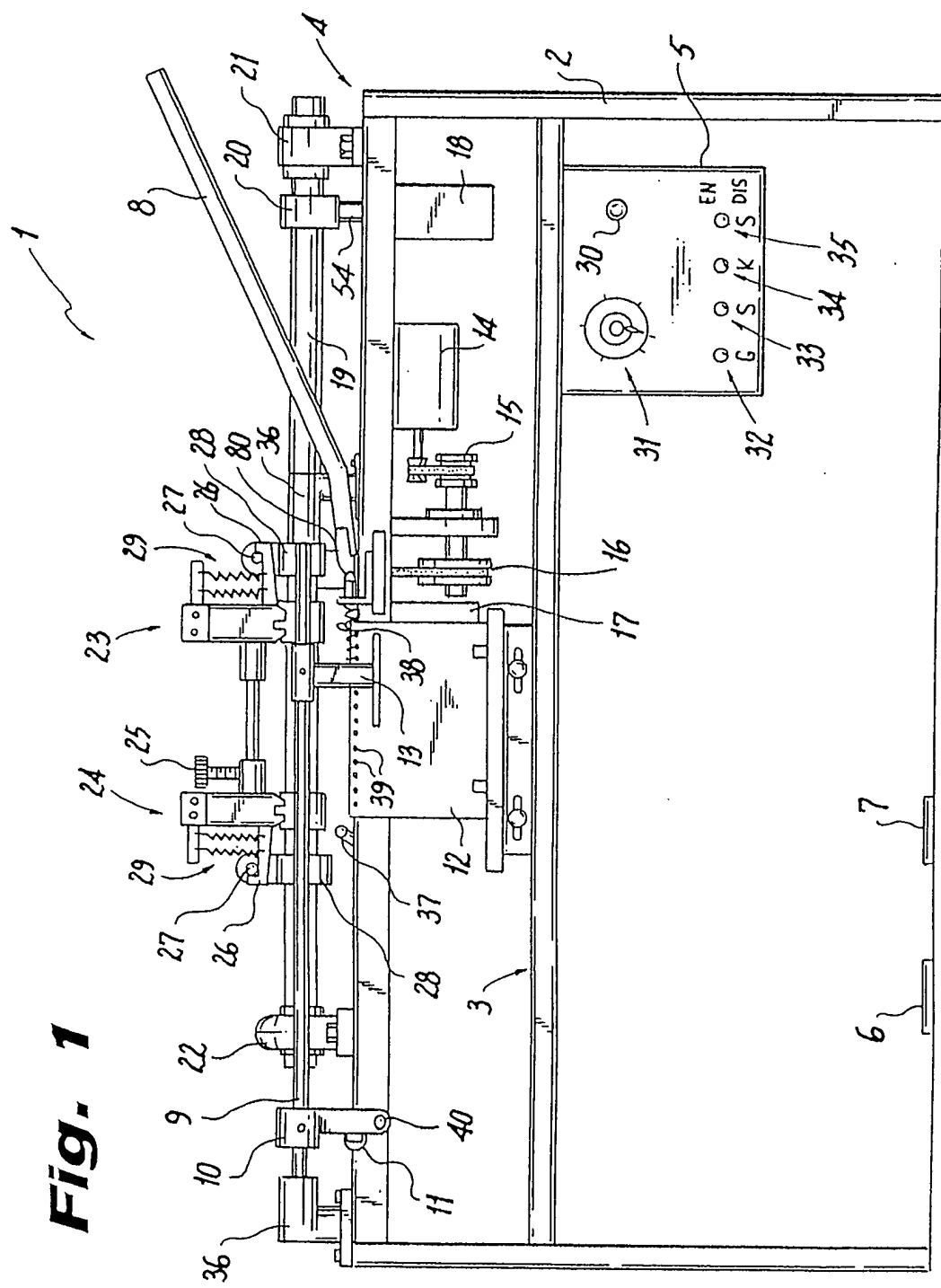


Fig. 1



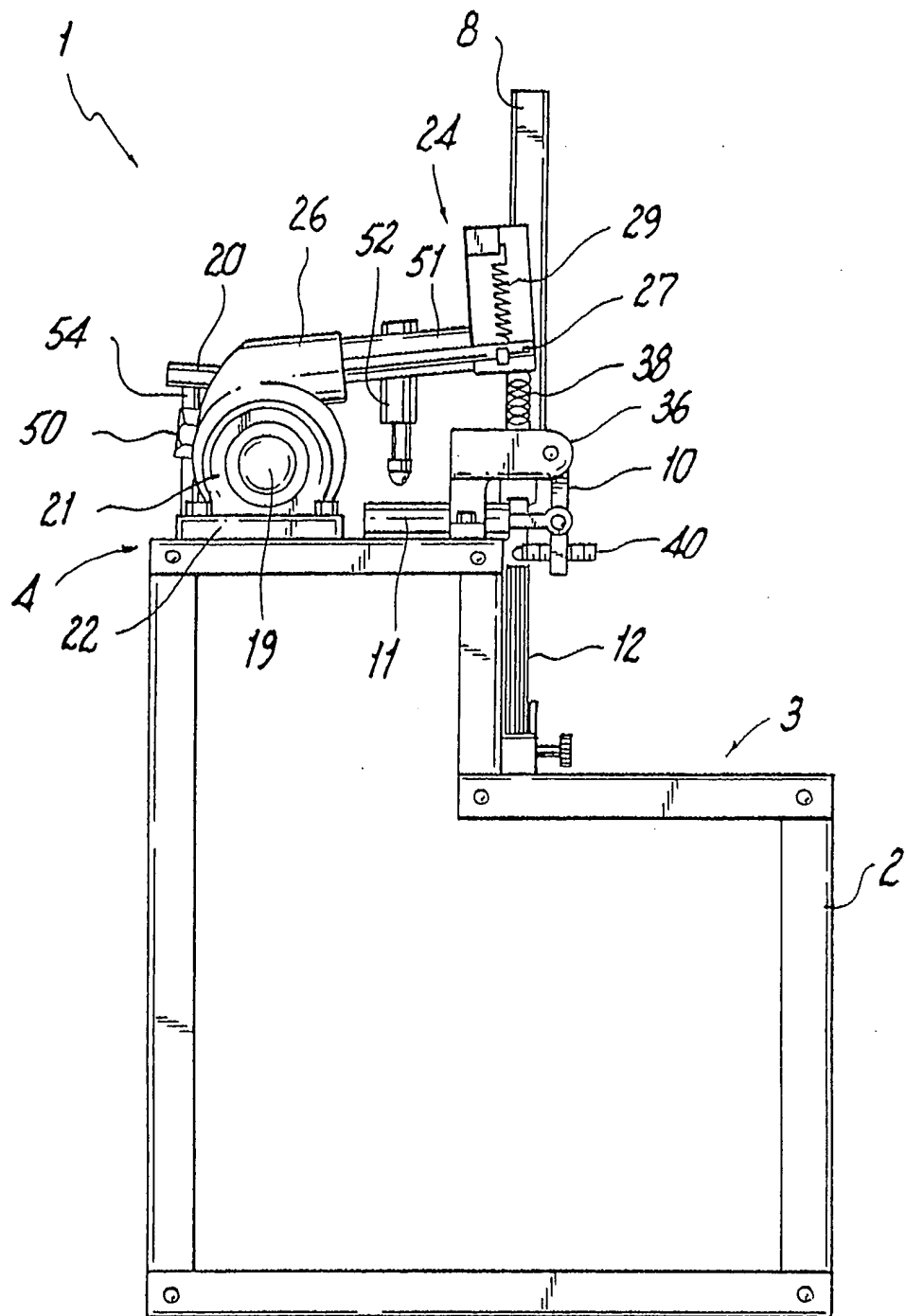


Fig. 2

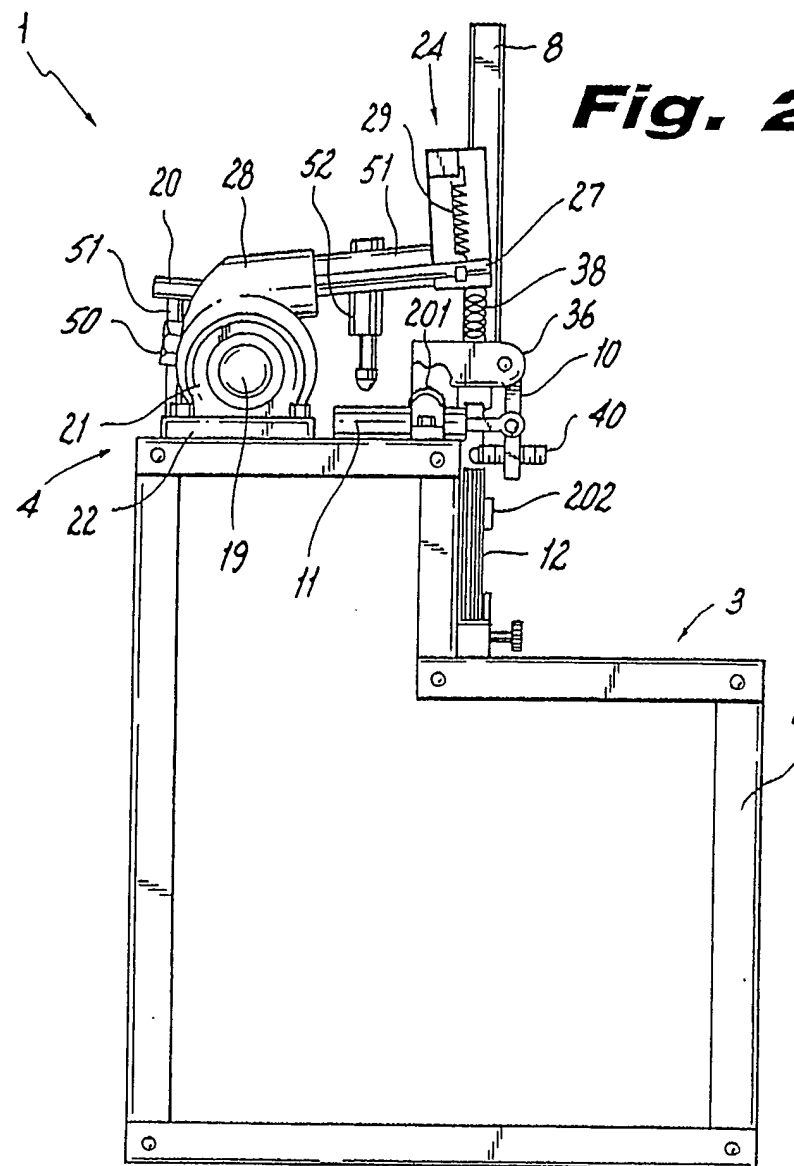


Fig. 2A

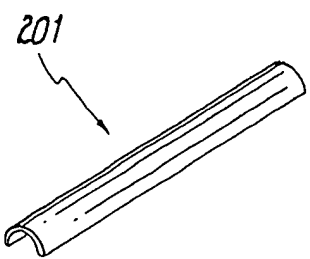


Fig. 2B

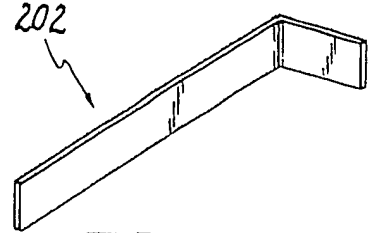


Fig. 2C

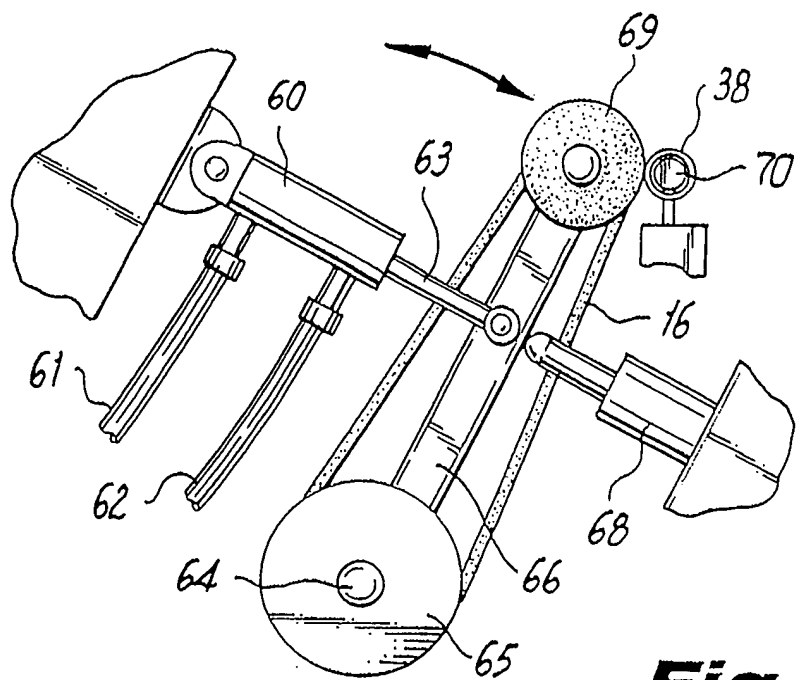


Fig. 3

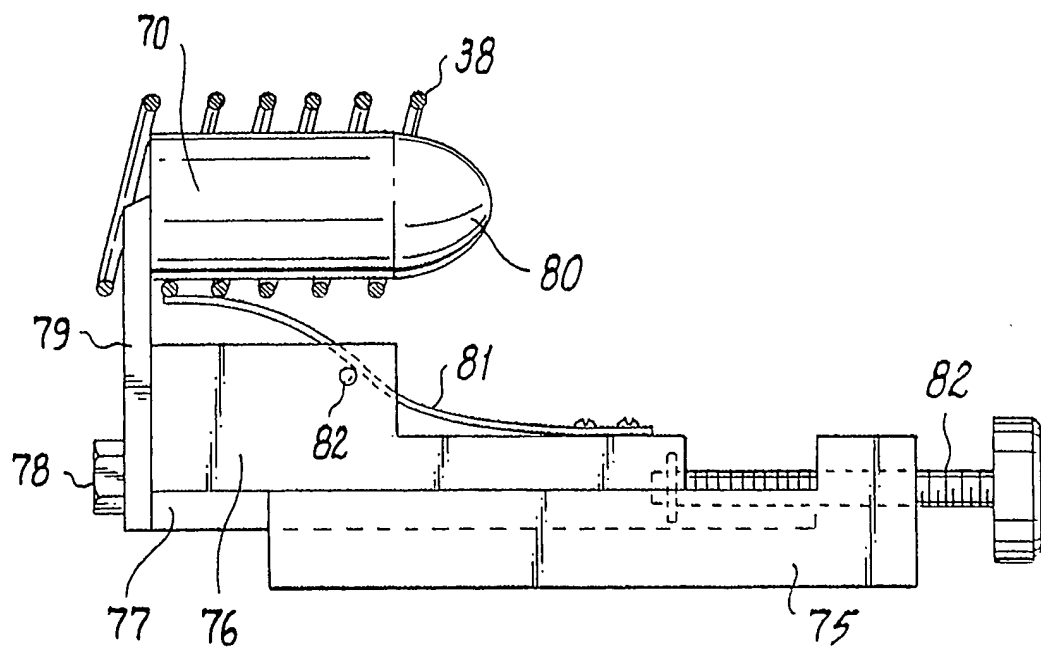
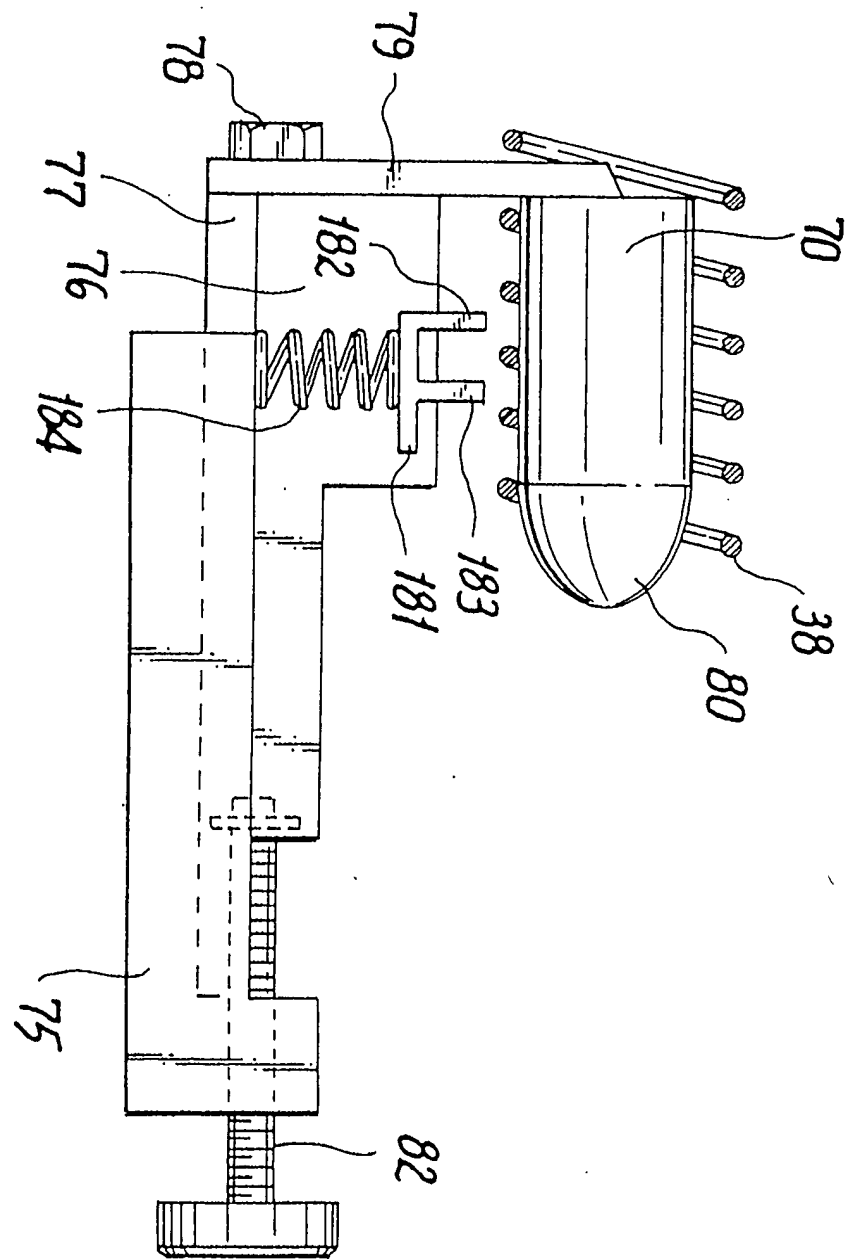


Fig. 4

Fig. 4A



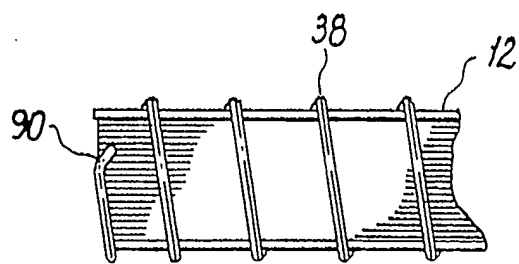
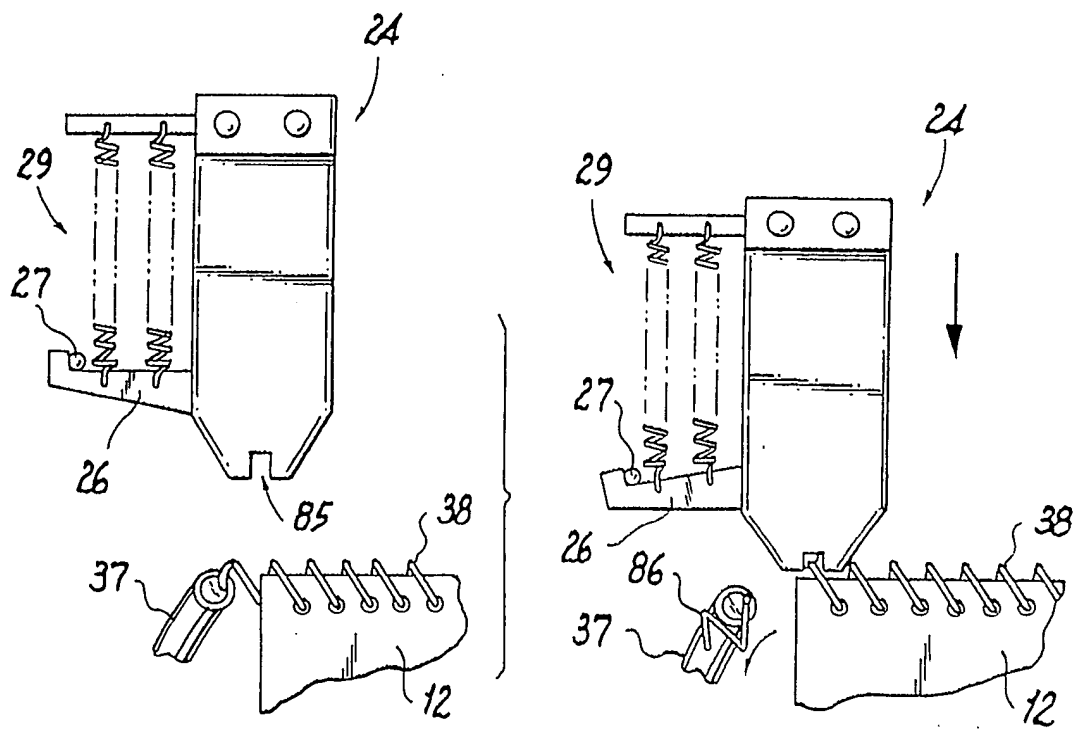


Fig. 6

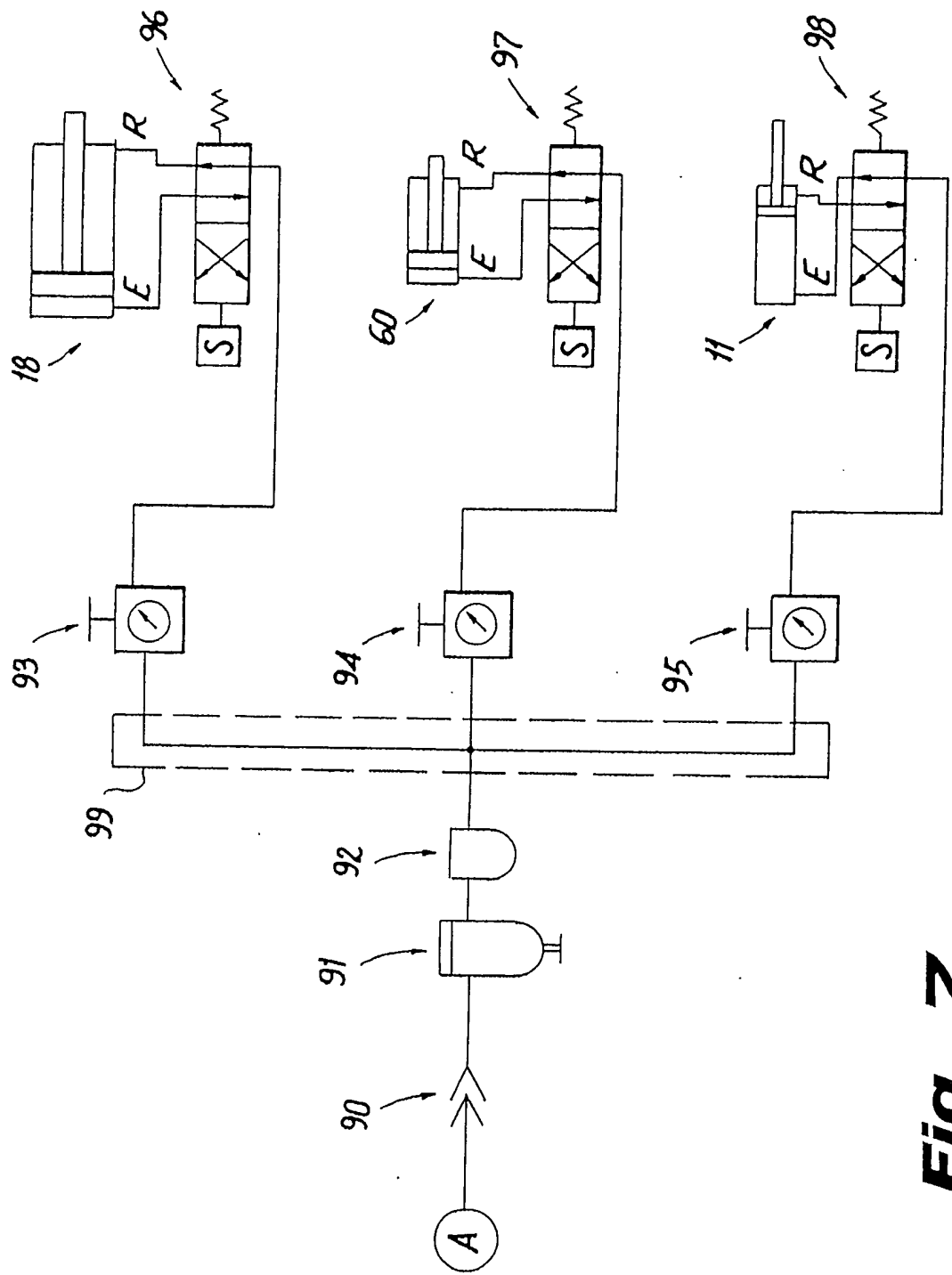


Fig. 7

Fig. 8

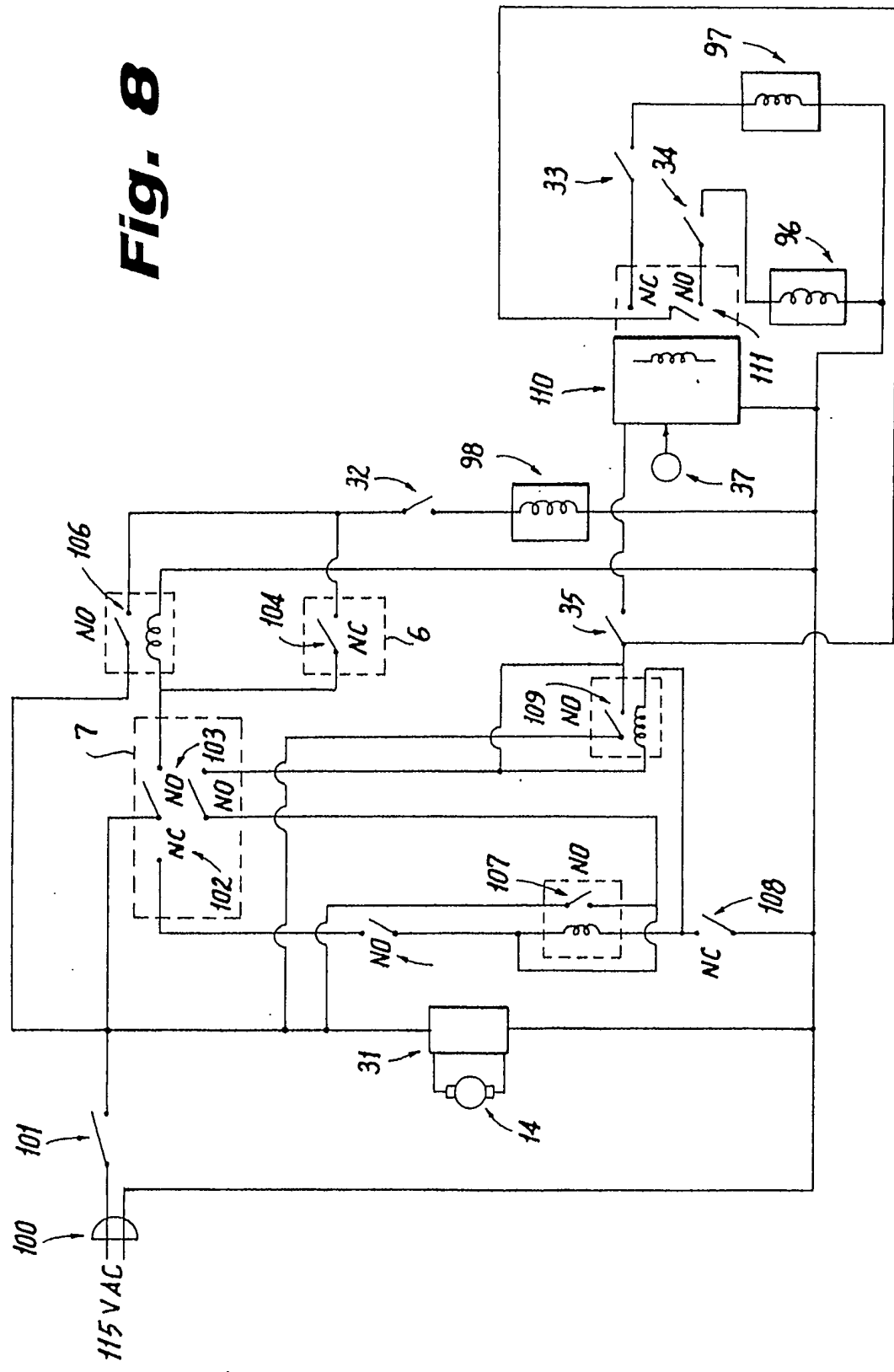


Fig. 9

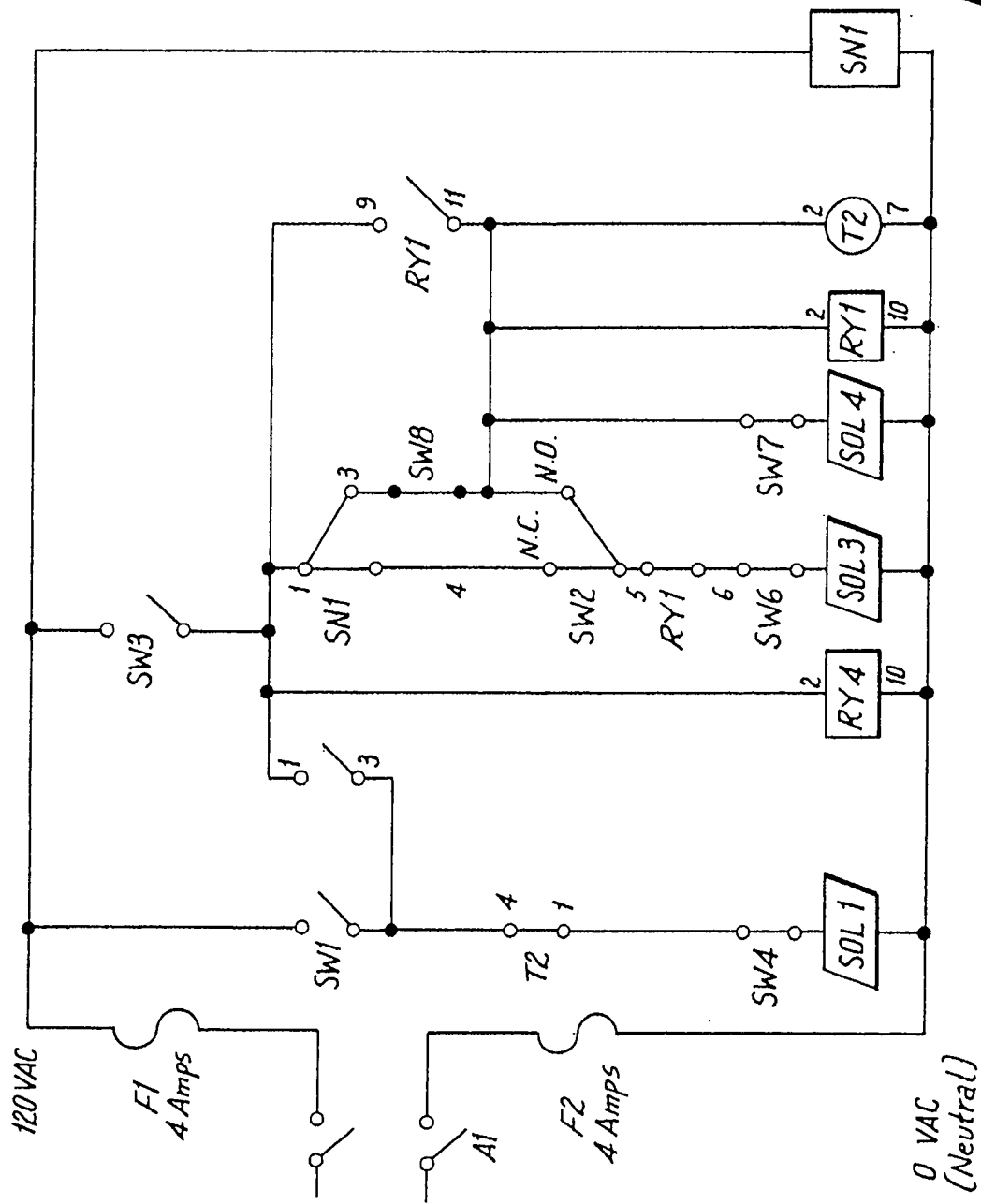


Fig. 10

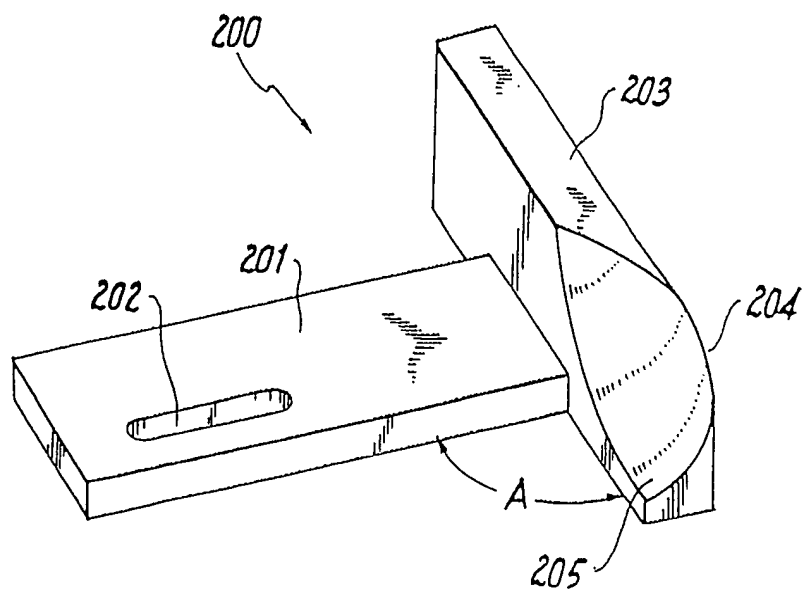
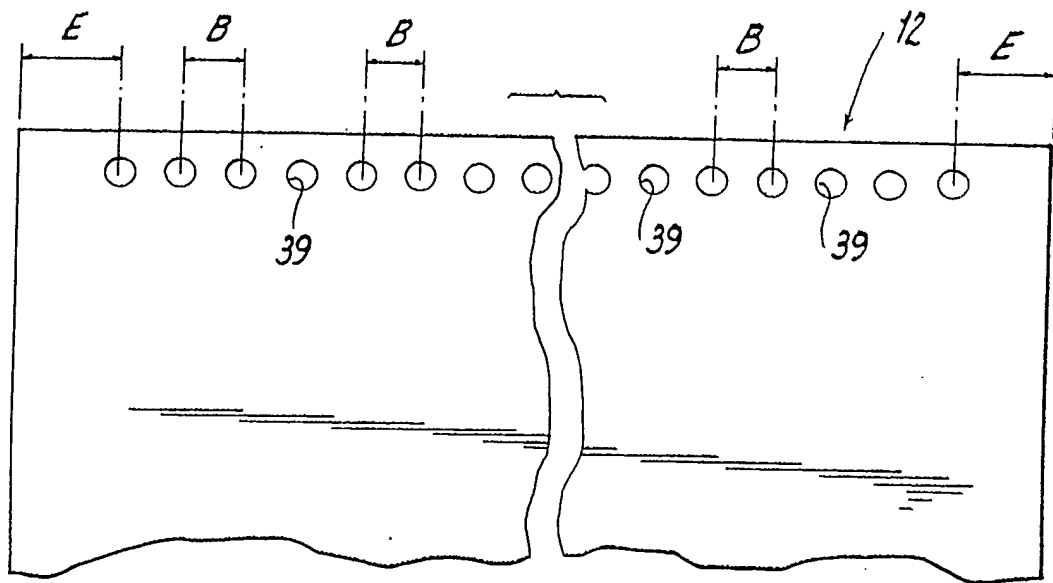


Fig. 11

Fig. 12

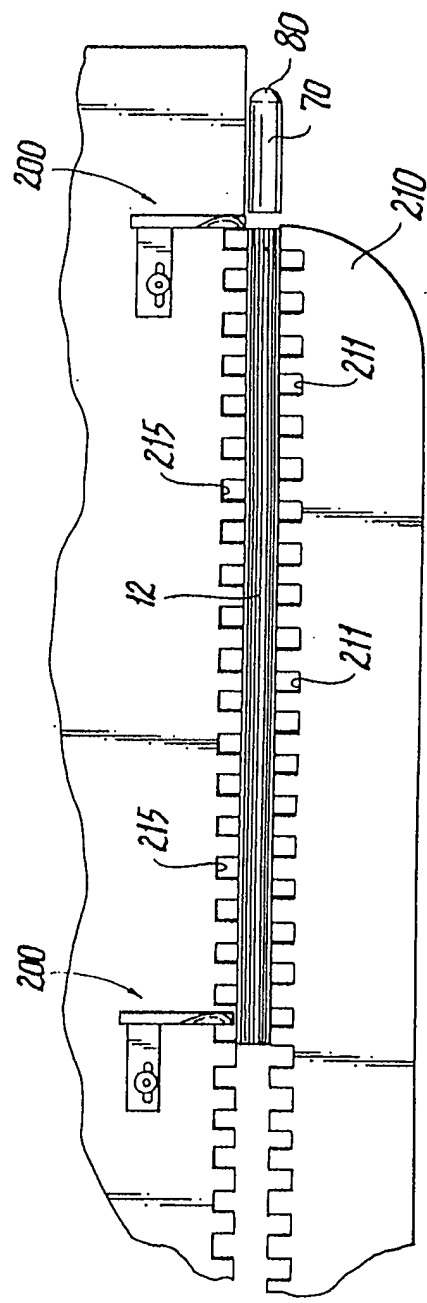
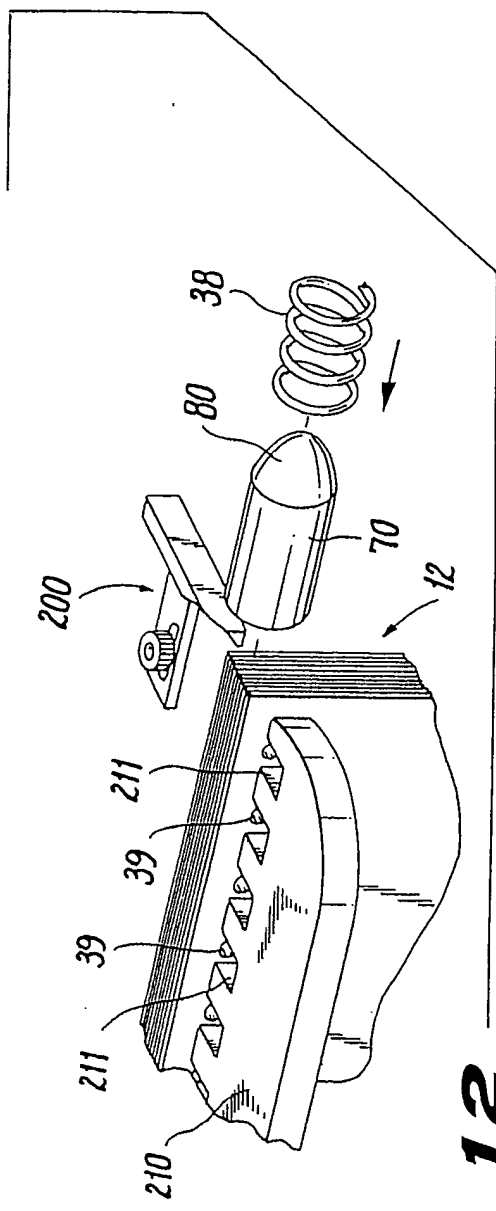


Fig. 13

Fig. 14

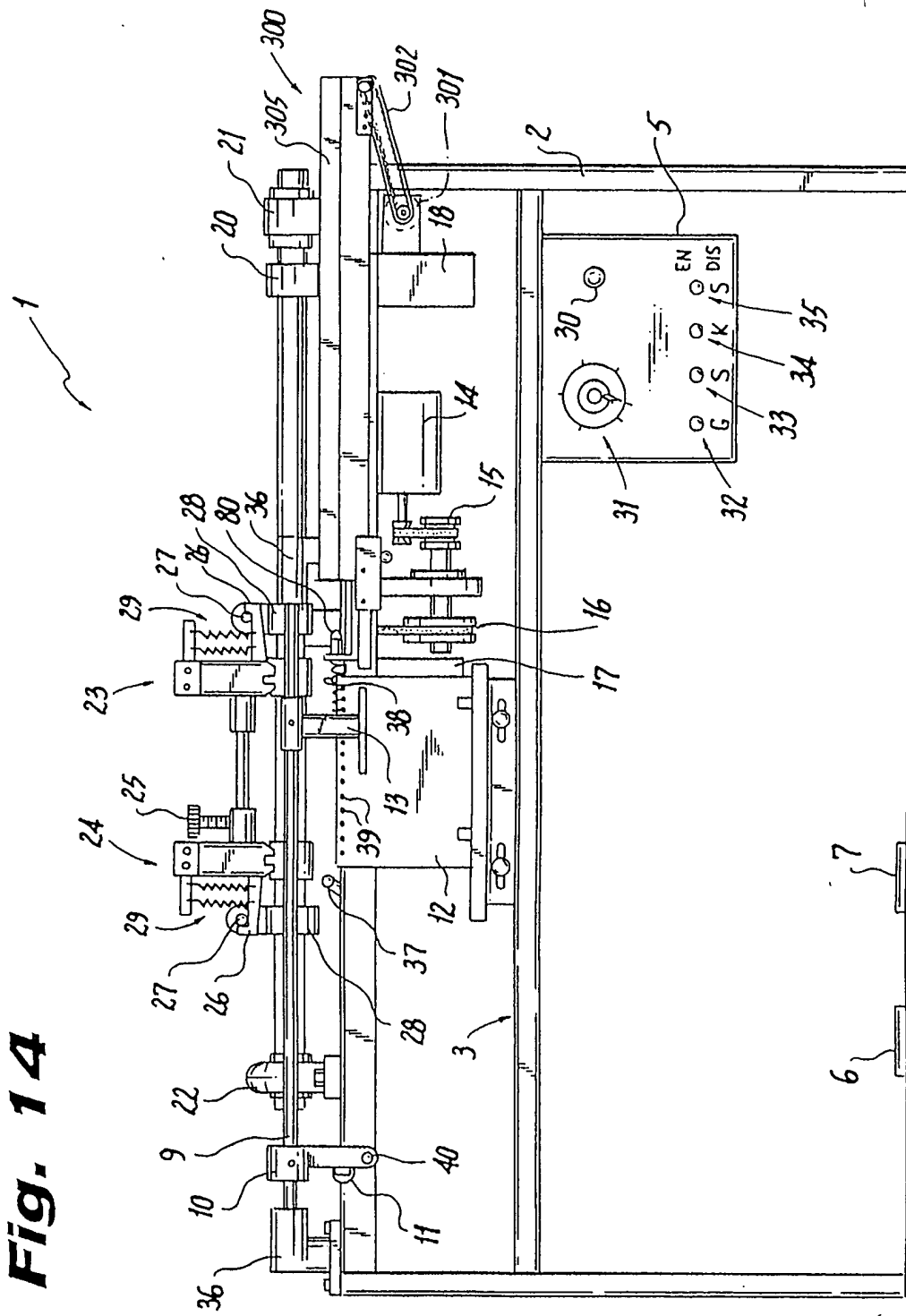


Fig. 15

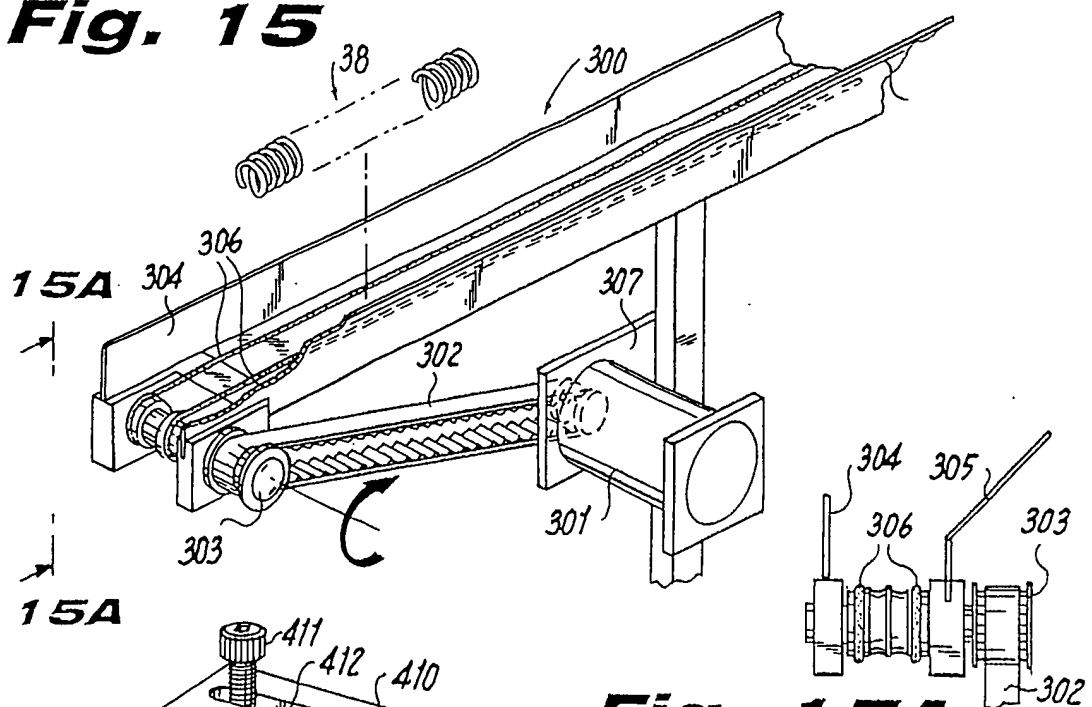


Fig. 15A

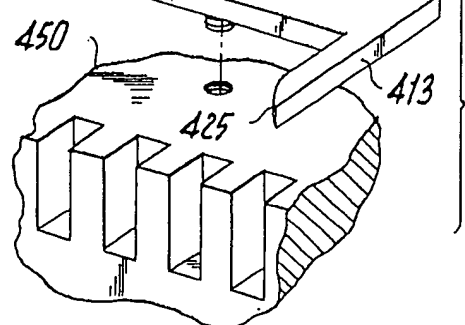


Fig. 16

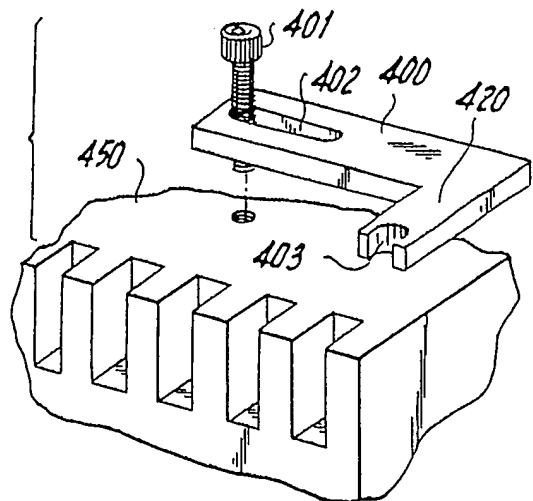


Fig. 17

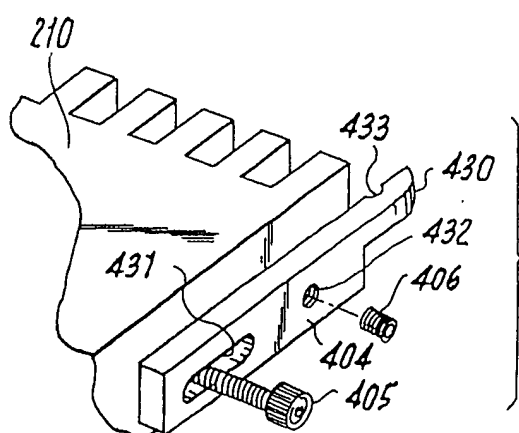


Fig. 18

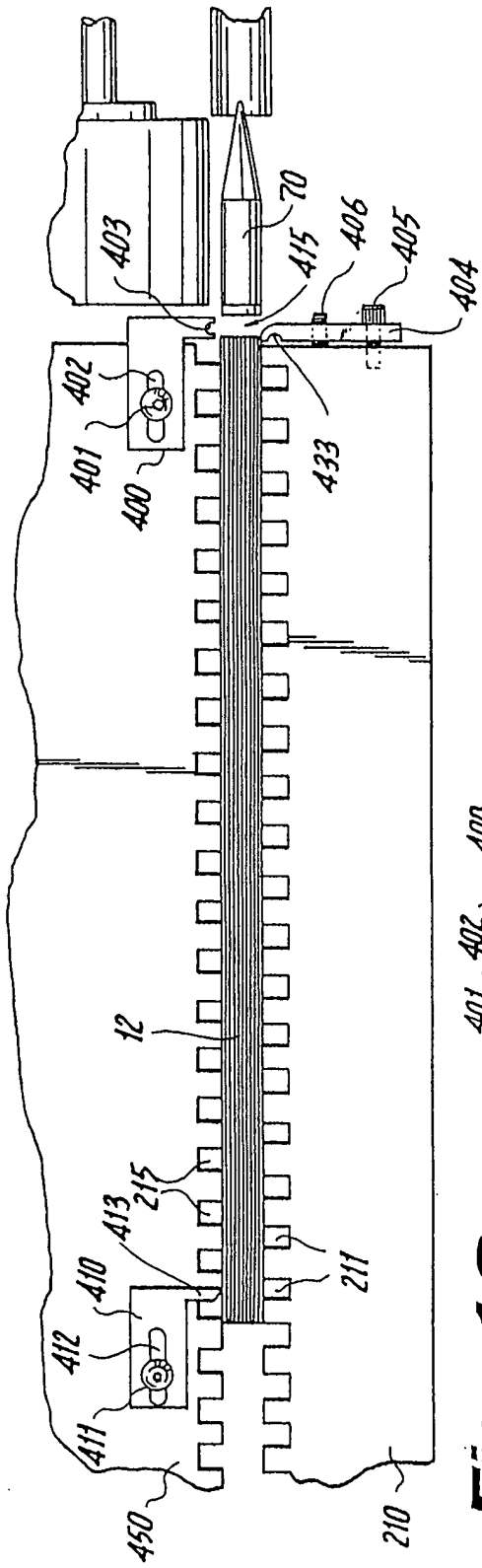


Fig. 19

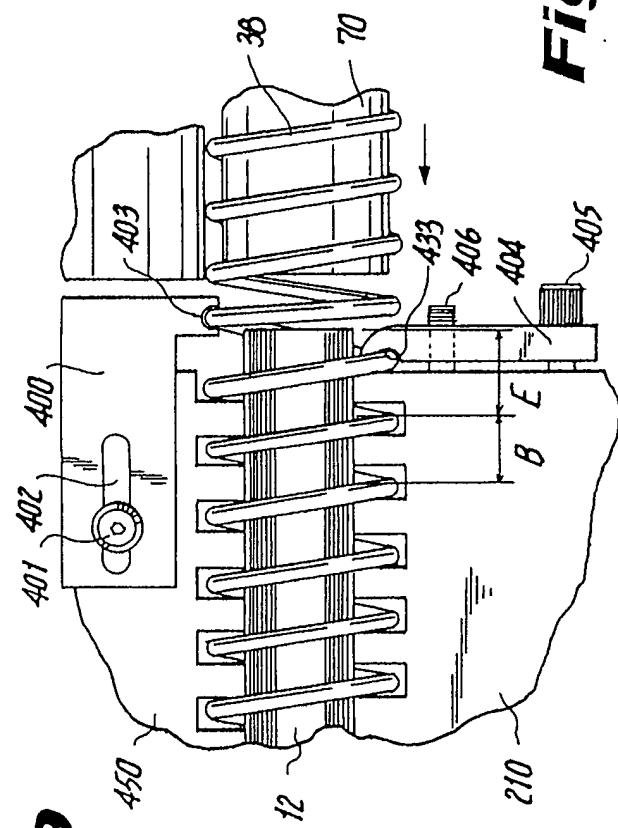


Fig. 20

FIG. 21
(PRIOR ART)

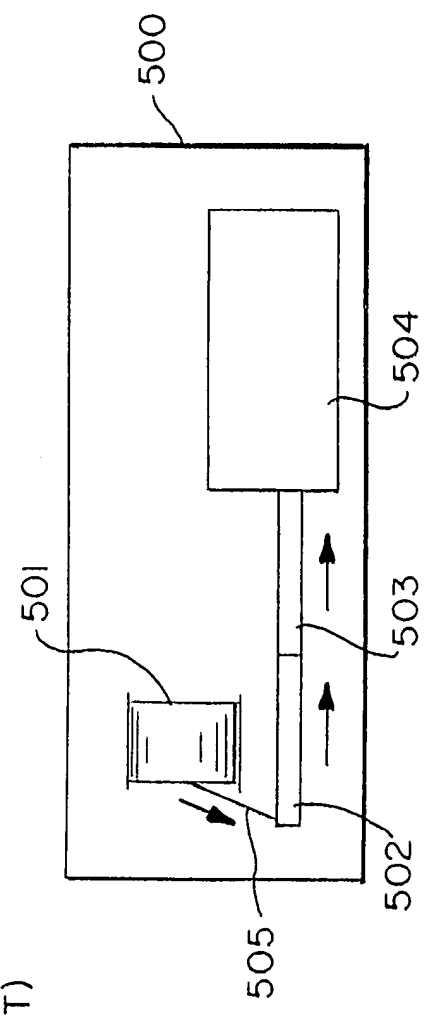


FIG. 22

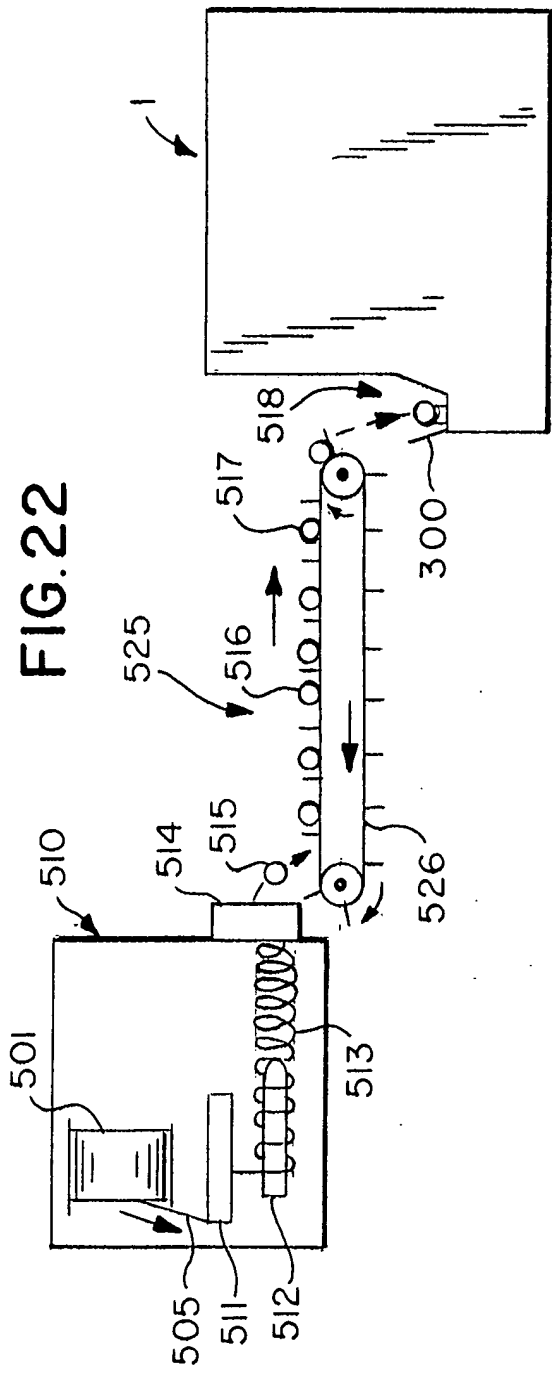


FIG. 23

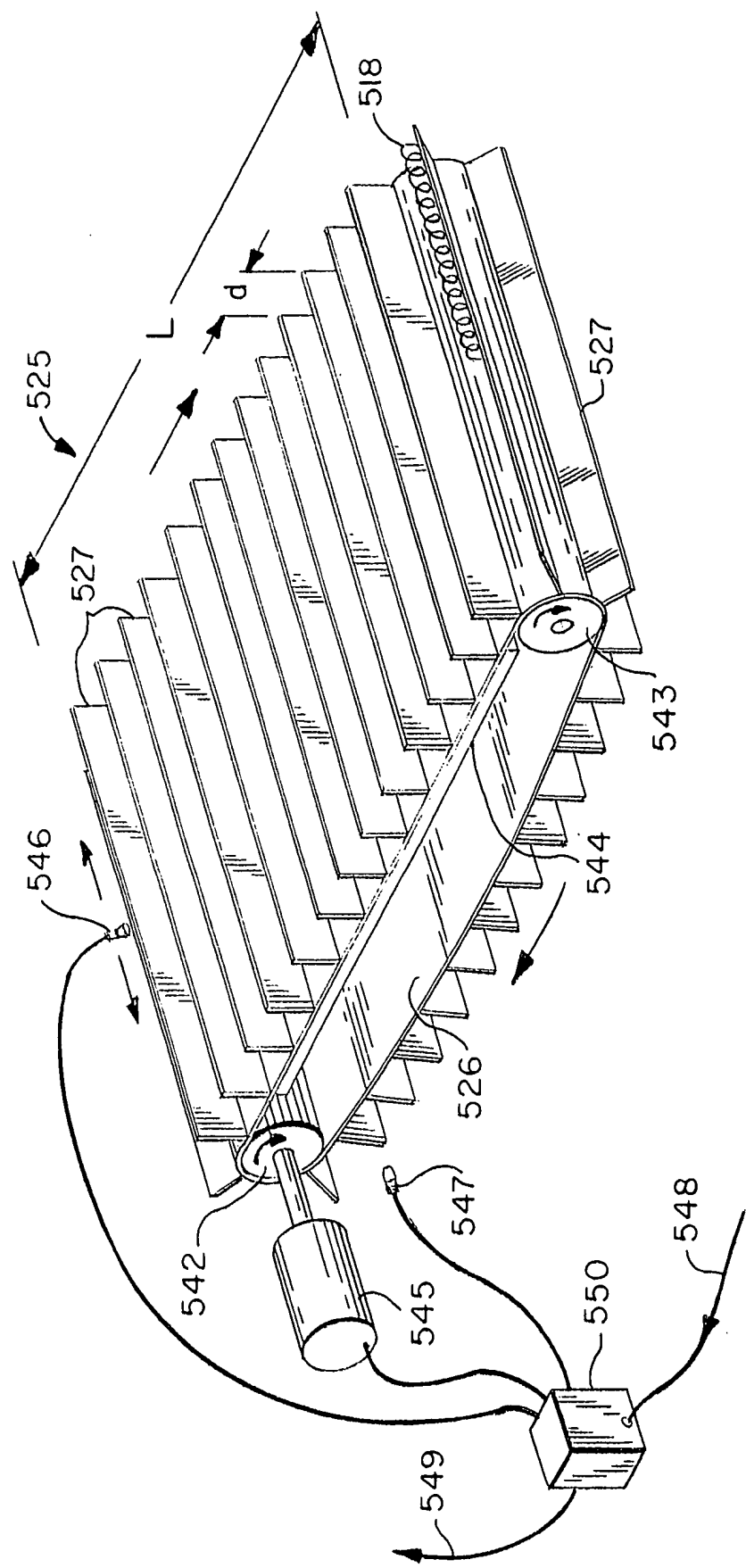


FIG. 24

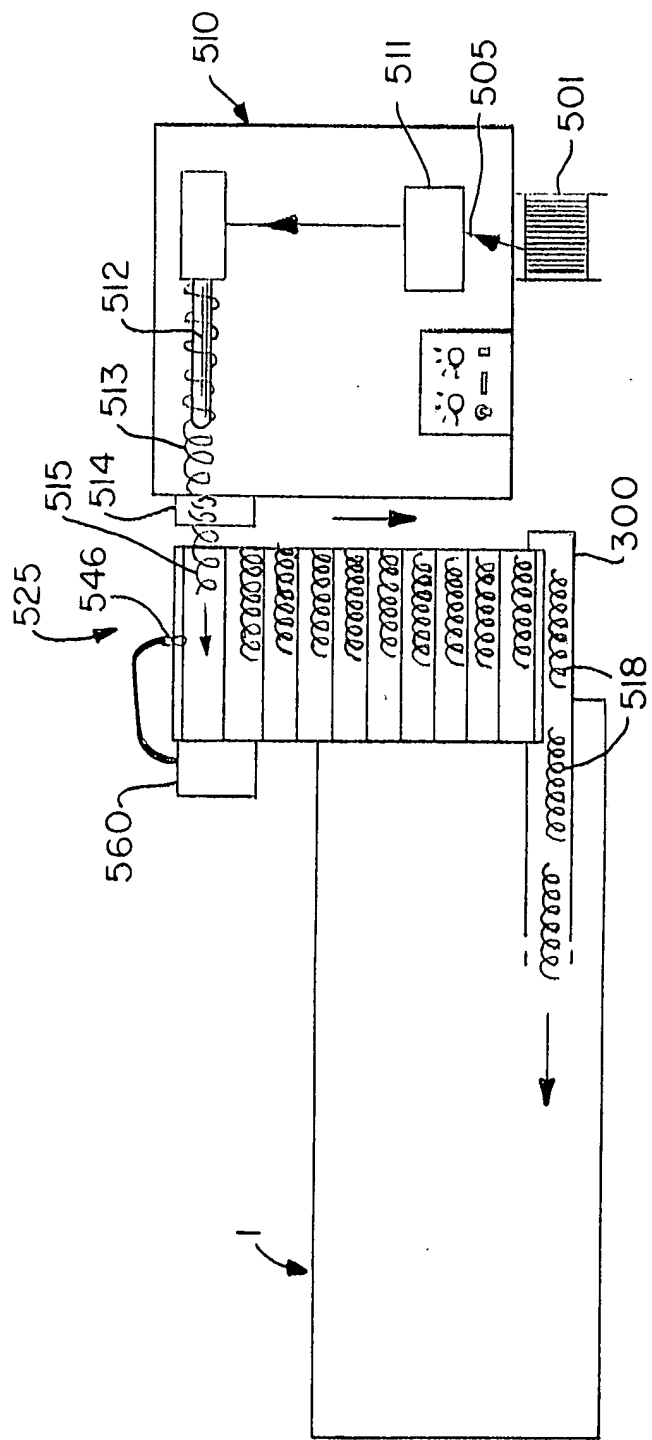


FIG. 25

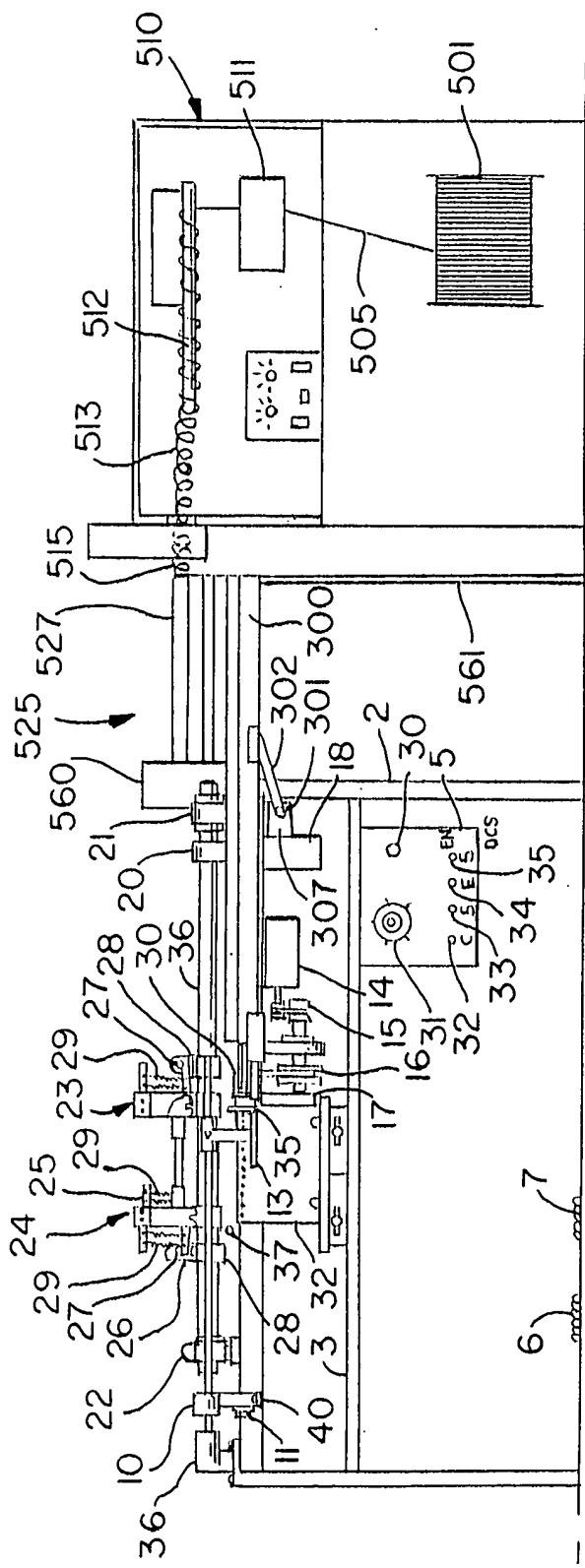


FIG. 26

